

Zeitschrift: Bulletin des Schweizerischen Elektrotechnischen Vereins
Herausgeber: Schweizerischer Elektrotechnischer Verein ; Verband Schweizerischer Elektrizitätswerke
Band: 2 (1911)
Heft: 1

Artikel: Ueber das "Paradoxon der Impedanz"
Autor: Herzog, Josef
DOI: <https://doi.org/10.5169/seals-1059636>

Nutzungsbedingungen

Die ETH-Bibliothek ist die Anbieterin der digitalisierten Zeitschriften auf E-Periodica. Sie besitzt keine Urheberrechte an den Zeitschriften und ist nicht verantwortlich für deren Inhalte. Die Rechte liegen in der Regel bei den Herausgebern beziehungsweise den externen Rechteinhabern. Das Veröffentlichen von Bildern in Print- und Online-Publikationen sowie auf Social Media-Kanälen oder Webseiten ist nur mit vorheriger Genehmigung der Rechteinhaber erlaubt. [Mehr erfahren](#)

Conditions d'utilisation

L'ETH Library est le fournisseur des revues numérisées. Elle ne détient aucun droit d'auteur sur les revues et n'est pas responsable de leur contenu. En règle générale, les droits sont détenus par les éditeurs ou les détenteurs de droits externes. La reproduction d'images dans des publications imprimées ou en ligne ainsi que sur des canaux de médias sociaux ou des sites web n'est autorisée qu'avec l'accord préalable des détenteurs des droits. [En savoir plus](#)

Terms of use

The ETH Library is the provider of the digitised journals. It does not own any copyrights to the journals and is not responsible for their content. The rights usually lie with the publishers or the external rights holders. Publishing images in print and online publications, as well as on social media channels or websites, is only permitted with the prior consent of the rights holders. [Find out more](#)

Download PDF: 03.04.2026

ETH-Bibliothek Zürich, E-Periodica, <https://www.e-periodica.ch>

SCHWEIZ. ELEKTROTECHNISCHER VEREIN

BULLETIN

ASSOCIATION SUISSE DES ÉLECTRICIENS

Erscheint monatlich und wird unter Mitwirkung einer vom Vorstand des S. E. V. ernannten Redaktionskommission herausgegeben.

Alle den Inhalt des „Bulletin“ betreffenden Zuschriften sind zu richten an die

Redaktion: Ing.-Consulent Dr. W. Kummer,
Mythenstrasse 15, Zürich II (Telephon 5806)

Alle Zuschriften betreffend Abonnement, Expedition und Inserate sind zu richten an den

Verlag: Fachschriften-Verlag A.-G., Zürich
Bahnhofstrasse 61, Zürich I (Telephon 6741)

Est publié sous la direction d'une Commission de Rédaction nommée par le Comité de l'A. S. E.

Ce bulletin paraît mensuellement.

Toutes les communications concernant la matière du „Bulletin“ sont à adresser à la

Rédaction: Ing.-Conseil Dr. W. Kummer
Mythenstrasse 15, Zurich II (Téléphone 5806)

Toutes les correspondances concernant les abonnements, l'expédition et les insertions sont à adresser à

l'éditeur: Fachschriften-Verlag A.-G., Zurich
Bahnhofstrasse 61, Zurich I (Téléphone 6741)

II. Jahrgang
II^e Année

Bulletin No. 1

Januar 1911
Janvier 1911

Ueber das „Paradoxon der Impedanz“.

Von Dipl.-Ing. Josef Herzog, Budapest.

1. In der Zeitschrift „Electrical World“ Band LVI No. 6 vom 11. August 1910 untersucht *F. M. Denton* den Einfluss eines veränderlichen ohmschen Nebenschlusses auf eine einfache Leiterverbindung, wie sie Abbildung 1 zeigt. Hierin bedeute C einen

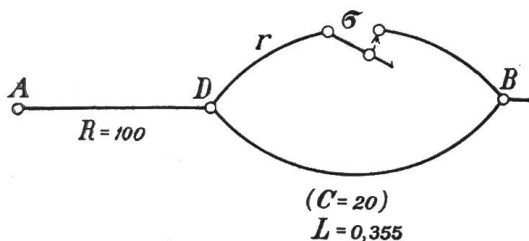


Abbildung 1. Leiterverbindung aus ohmschem Widerstand R und Zweigen r (ohmsch, veränderlich) und x (induktiv, unveränderlich). AD hat V_1 , DB V_2 und AB V als Spannungswert. Gesamtwiderstand AB sei z .

ideellen Kondensator, beispielsweise von 20 Mikrofarad und R einen induktionslosen Widerstand von beispielsweise 100 Ohm. Dem induktiven Widerstand ist ein *veränderlicher* induktionsloser Widerstand r nebengeschaltet, in dessen Zweige ein Schalter σ sitzt. Ist dieser Schalter σ geöffnet, d. h. $r = \infty$, dann ist die Intensität eines Wechselstroms von 60 Perioden in der Sekunde in der Leiterverbindung grösser, als wenn r beispielsweise 250 Ohm betragen würde. Gleiches bestünde bei Ersatz der Kapazität $C = 20$ durch eine Induktivität von $L = 0,355$ Henry.

In Abbildung 2 wird eine Kurve gezeigt, welche die Abhängigkeit zwischen dem veränderlichen Nebenschlusswiderstand r und dem Gesamtwiderstand z der Leiterverbindung

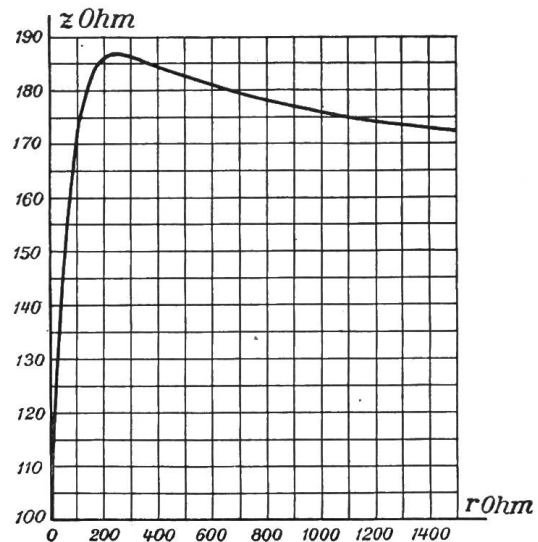
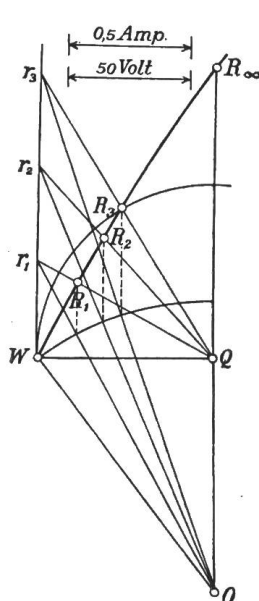


Abbildung 2. Abhängigkeit zwischen dem veränderlichen Nebenschluss r und dem Gesamtwiderstand z .

wiedergibt. Für jeden Wert von z , der grösser als 170 Ohm ist, finden sich daraus zwei Werte von r . Bei ungefähr 170 Ohm erscheint etwa das Wertpaar $r = 99$ und $r = \infty^1)$, d. h. der Strom, den die Leiterverbindung beim Ein- und Ausschalten des Nebenschlusses aufnimmt, bleibt unverändert. Dieses anscheinend überraschende Resultat gab Denton Veranlassung, von einem „Paradoxon der Impedanz“ zu sprechen.

Die Spannungen und Ströme veranschaulicht Abbildung 3. \overline{OQ} stellt die Spannung V_1 und \overline{QW} den Strom durch den Kondensator C oder der Induktivität L vor. Die Massstäbe sind so gewählt worden, dass \overline{QW} auch den Spannungsverlust in R misst, der durch den Strom im Kondensator C oder der Induktivität L hervorgerufen wird. Wenn $r = \infty$, so wird die Spannung von A nach B zum Vektor \overline{OW} , wobei \overline{QW} den Strom in R misst. $\overline{WR_1}$ ist der Strom in $r = 1000$ Ohm, $\overline{WR_2}$, $\overline{WR_3} \dots$ sind die Ströme in $\frac{1}{2} r$, $\frac{1}{3} r \dots$ bei einer festen Spannung V_1 . Für veränderliche Werte von r sind die Spannungen V zwischen den Knoten A und B durch $\overline{Or_1}$, $\overline{Or_2} \dots$ dargestellt, während die Ströme in R durch $\overline{Qr_1}$, $\overline{Qr_2}$ gezeigt werden. Wenn nun V als festgegeben vorausgesetzt wird, während sich V_1 verändert, so wird der Strom in R dargestellt sein durch:

\overline{QW} , wenn $r = \infty$ und durch $\overline{QR_1}$, wenn $r = r_1$ usw., wobei $\overline{QR_n} : \overline{Qr_n} = \overline{OW} : \overline{Or_n}$.



Die Ermittlung der Punkte $R_1, R_2 \dots$ geschieht durch einen Kreis aus O mit dem Halbmesser \overline{OW} . Durch die Schnitte des Kreises mit $\overline{Or_1}$, $\overline{Or_2} \dots$ werden Parallelstrahlen geführt, welche sich mit den Strahlen $\overline{Qr_1}$, $\overline{Qr_2} \dots$ in den Punkten $R_1, R_2 \dots$ schneiden.

Die Abbildung 3 ist mit folgenden Werten gezeichnet worden:

$$R = 100, \quad C = 20 \text{ (oder } L = 0,355) \quad \sim = 60; \quad V = 150$$

$$r_1 = 1000 \quad r_2 = 500 \quad r_3 = 333,3.$$

Wenn R einen kleineren Wert als oben erhielte, so würde der Buckel der Kurve in Abbildung 2 abflachen und bei ganz kleinen Werten würde die geschilderte Schalterscheinung überhaupt ausbleiben, weil der Widerstand zwischen D und B überhaupt verschwindet.

* * *

Abbildung 3. Spannungen und Ströme in der Leiterverbindung. $\overline{OQ} = V_1$; \overline{QW} Strom durch x und auch Spannungsverlust in R .

2. Herr *H. F. Hagen* hat diese Darstellung in der Zeitschrift „Electrical World“, Band LVI, No. 15 vom 13. Oktober 1910 durch eine Arbeit „Analytical Investigation of an Impedance Paradox“ ergänzt, deren wesentlicher Inhalt folgendermassen wiedergegeben werden kann. Es bezeichne:

$$g = 1/r \text{ die Konduktanz, } b = 1/x \text{ die Suszeptanz,}$$

$$Y_{BC} = \sqrt{\frac{1}{r^2} + \frac{1}{x^2}} \text{ die Admittanz, } r_{BC} = \frac{g}{Y^2} = \frac{r x^2}{r^2 + x^2} \text{ und}$$

$$x_{BC} = \frac{b}{Y^2} = \frac{r^2 x}{r^2 + x^2} \text{ die Reaktanz.}$$

Die totale Resistanz vom Punkte A bis C beträgt dann nach der von *Steinmetz* eingeführten Rechnungsweise:

¹⁾ Wie die spätere Zeichnung und Rechnung zeigt, sind $z_0 = 167,5$ und $r_0 = 89,5$ die genauen Werte.

$$r_{AC} = R + r_{BC} = R + \frac{rx^2}{r^2 + x^2} \text{ und die totale Reaktanz}$$

$x_{AC} = x_{BC}$; womit sich die totale Impedanz findet mit

$$z = \sqrt{\left(R + \frac{rx^2}{r^2 + x^2}\right)^2 + \left(\frac{r^2x}{r^2 + x^2}\right)^2} \quad (1)$$

Diese Gleichung (1) entspricht der Kurve der Abbildung 2:

Um den grössten und kleinsten Widerstand z_{max} und z_{min} von z und ihre beiden Werte (r') und (r'') zu finden, bilde man den Differentialquotienten $\frac{dz}{dr}$ und setze ihn Null. Daraus folgt, dass man den Zähler des so erhaltenen Bruches der Null gleichsetzen kann, woraus sich unmittelbar ergibt:

$$\left. \begin{matrix} (r') \\ (r'') \end{matrix} \right\} = \frac{x^2}{2R} \pm \sqrt{\left(\frac{x^2}{2R}\right)^2 + x^2} \quad (2)$$

Setzt man hierin $R = 100$; $x = 133,8$ ein, so erhält man Werte, die in Gleichung (1) substituiert auf $z_{max} = 187,4$ und $z_{min} = 250,5$ führen.

* * *

3. Diesen Darstellungen amerikanischer Autoren wollen wir nun eine solche nach einer eigenen Entwicklungsmethode folgen lassen. Sie soll die Fruchtbarkeit der elektrographischen Denk- und Zeichnungsmethode für solche Untersuchungen bekunden.

Vorerst mag aber ein Uebergang vom Vorhergehenden hergestellt werden. Die Gleichungen (1) und (2) lassen sich leicht graphisch

deuten, indem $\frac{rx^2}{r^2 + x^2}$ durch die Strecke \overline{DF} und $\frac{r^2x}{r^2 + x^2}$ durch die Strecke \overline{PF} in Abbildung 4 gemessen wird, wie sich aus den ähnlichen rechtwinkligen Dreiecken BDD' und PDF ergibt; z ist demnach die Hypotenuse des Dreiecks APF mit den Katheten \overline{AF} und \overline{EP} . Wenn der Widerstand r sich bei festem x verändert, so beschreibt der Höhenfusspunkt P einen Kreis K mit dem Mittelpunkt in O .

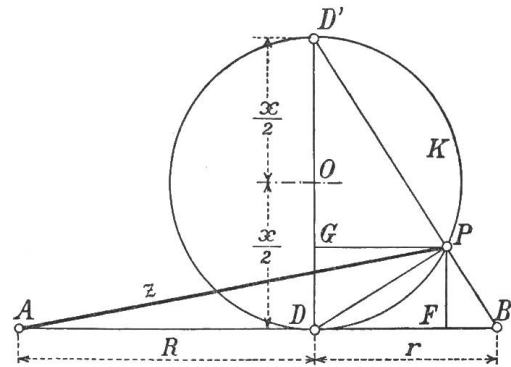


Abbildung 4. Widerstandsbild der Leiterverbindung. P beschreibt K bei veränderlichem r und festem x .

Kommt der Punkt P in die Mittellinie AO zu liegen (Abbildung 5), so erhält man den grössten

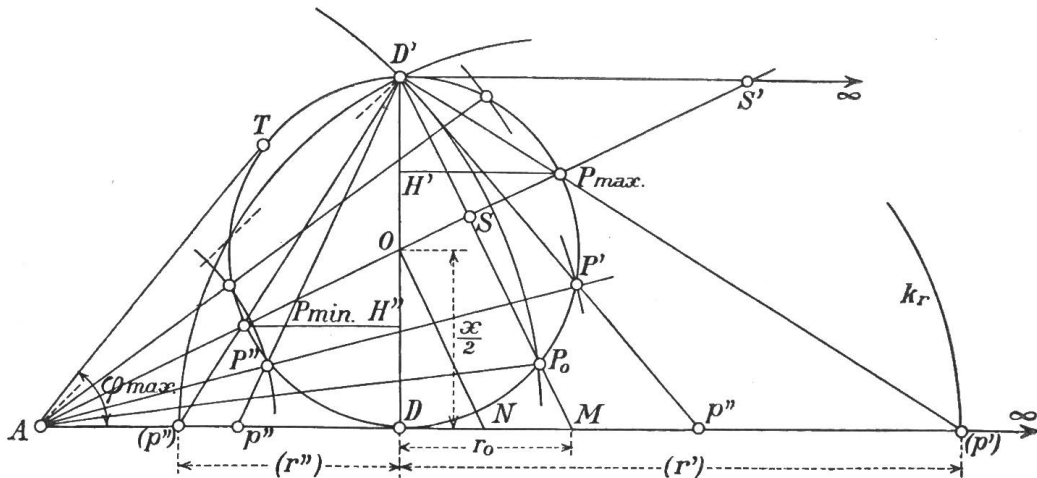


Abbildung 5. Sonderwerte des Gesamtwiderstandes z durch die Punkte P_{max} , P_{min} und P_0 .

gestaltet. Man spaltet x in die Zweige ϱ und x'' (Abbildung 9), indem im Fusspunkte D' die Senkrechte $D''d''$ errichtet. Die parallelen ohmschen Widerstände ϱ und r lassen sich dann durch die Winkelhalbierende Dn überaus leicht durch einen gleichwertigen ersetzen. Der Kreis K führt durch D'' . A liegt ausserhalb der Grundlinie Df . AO gibt jedoch wieder z_{max} und das Spiegelbild von D' führt abermals zu P_0 und damit zu AP_0 . Durch den Strahl $D''P_0$ findet man über den Punkt t hinweg den Punkt f und damit r_0 . Zieht man $P_{max}(p')$, so ergibt sich auf gleiche Weise über g der Punkt m und mit ihm der merkwürdige Wert von r , dessen Ausschaltung die Stromstärke der ganzen Leiterverbindun

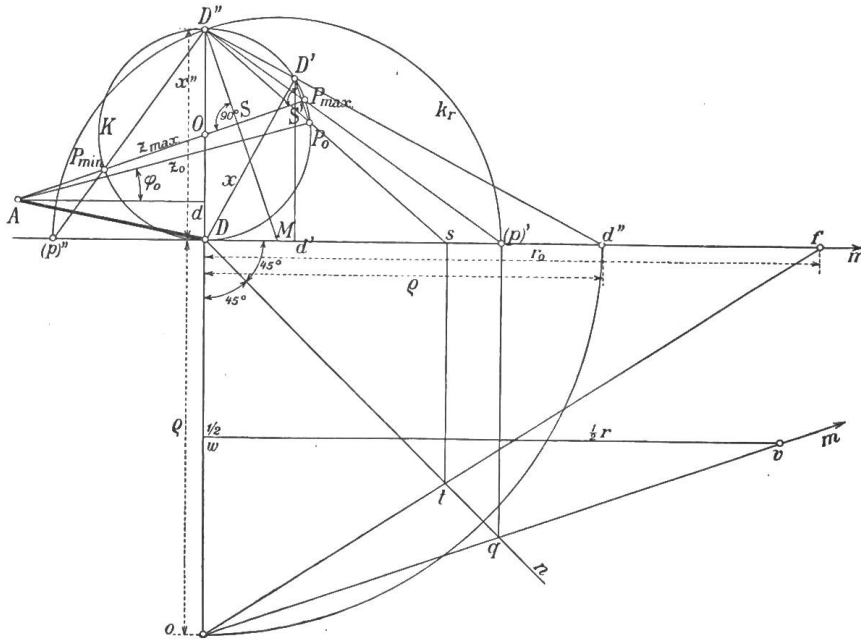


Abbildung 8. Erweiterter Fall : gerichtete Widerstände in allen Leitern der Verbindung.

bei gegebener Spannung V zwischen A und B unverändert lässt.

In den bisherigen Betrachtungen darf ohne weiteres der ohmsche Widerstand durch den allgemeineren, den effektiven ersetzt werden. Die Darstellung gilt weiters nicht nur für Leitungen, sondern sie umfasst namentlich Transformatoren, Generatoren und Motoren. Deutet man z. B. Abbildung 1 oder 9 als das Ersatzschema eines mehrphasigen Asynchronmotors, bei dem der Widerstand ϱ die veränderliche sekundäre Belastung samt Schlüpfung ersetzt, so stellt die Abbildung 4 oder 8 das bekannte Kreisdiagramm dar.¹⁾

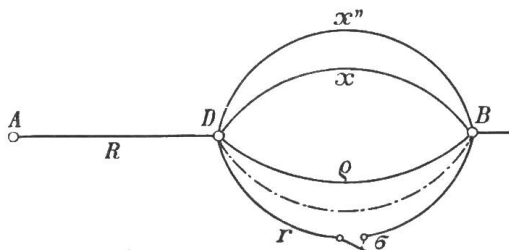


Abbildung 9. Erweitertes Leiterbild mit gespaltenen Zweigwiderständen.

Zum Schlusse sei wiederholt: Im Höhensatz des rechtwinkligen Widerstands-dreiecks (dem elektrischen Pythagoras) liegt die Wurzel der Kreisdiagramme.

¹⁾ Siehe etwa den neuesten Aufsatz nach: Das Kreisdiagramm des mehrphasigen Asynchronmotors von Karl Krug in der Zeitschrift „Elektrotechnik und Maschinenbau“, Band XXVIII, Heft 49 vom 4. Dezember 1910.

